

# 铍青铜(QBe2)的分级时效工艺

卢越焜 刘 涛 李阿妮 谷胜民

(中国运载火箭技术研究院,北京 100076)

**文 摘** 为提高铍青铜(QBe2)带材的抗拉强度,采用正交试验法对铍青铜带材进行分级时效处理,结果表明二级时效温度对抗拉强度影响最大,其最佳工艺参数为一级时效温度200℃,一级时效时间为1 h,二级时效温度为330℃,二级时效时间为2 h。此时抗拉强度最大值为1.336 GPa。

**关键词** 铍青铜,抗拉强度,分级时效,正交试验

## Twice-Step Ageing Method for Beryllium Bronze (QBe2)

Lu Yuekun Liu Tao Li Ani Gu Shengmin

(China Academy of Launch Vehicle Technology, Beijing 100076)

**Abstract** Orthogonal experiment of twice-step ageing method was used for beryllium bronze. The tensile strength of 1.336 GPa was achieved while holding an hour at the temperature of 200℃, then keeping two hours at the temperature of 330℃. The effect of twice-step ageing method on tensile strength of beryllium bronze was studied, and the temperature of the second step affected the tensile strength more than other factors.

**Key words** Beryllium bronze, Tensile strength, Twice-step ageing method, Orthogonal experiment

### 0 引言

铍青铜具有高的强度、硬度和弹性极限,弹性滞后小、稳定性好,并且具有耐疲劳、耐腐蚀、耐磨、耐寒、无磁性、高导电导热性、受冲击时不产生火花等优良的综合特性<sup>[1]</sup>,广泛应用于航空航天、电子电器和仪器仪表工业中的弹性元件。铍青铜是一种典型的沉淀硬化型合金,固溶处理后具有良好的冷加工成形性,可加工成各种形状复杂的零件,而随后的时效处理过程又能发生强烈的沉淀硬化,硬度和耐磨性等得到了很大提高<sup>[2]</sup>。分级时效是提高铍青铜力学性能的有效方法<sup>[3]</sup>,能克服常规时效的不足,既可提高强化效果,又可减少畸变。因一级时效温度低,在基体中能够形成一定量稳定晶核,能避免出现二级时效时脱溶物沿晶界不均匀析出,促使二级时效在稳定晶核基础上析出 $\gamma_2$ 相,并弥散均匀分布于基体<sup>[4]</sup>。本文采用正交试验法<sup>[5~6]</sup>对铍青铜带材进行分级时效,以得到最佳工艺参数,从而提高铍青铜带材的抗拉强度。

### 1 试验

#### 1.1 材料

采用宁夏东方钽业股份有限公司生产的淬火半硬状态的铍青铜带材,牌号为QBe2,其化学成分为

Be:1.907%, Ni:0.317%, 余量为 Cu。力学性能: $\sigma_b$ 为635 MPa,  $\delta_{10}$ 为15.5%。

从试验材料上切取1.0 mm × 210 mm × 40 mm的试样用于分级时效,时效后进行拉伸试验。测试标准为GB/T228—2002。

#### 1.2 仪器设备

使用SX-12-10型箱式电阻炉进行热处理试验,采用CMT4205型电子式万能试验机测试力学性能。

#### 1.3 方法

通过正交试验法研究分级时效制度对抗拉强度的影响,并确定最佳分级时效工艺参数。选取的四个影响因子分别为:一级时效温度(A因子)、一级时效时间(B因子)、二级时效温度(C因子)、二级时效时间(D因子),每个因子选取三个水平,因此采用L9(3<sup>4</sup>)正交表。选取的影响因子及各因子的水平见表1。

表1 试验因子及各因子试验水平

Tab. 1 Factor of orthogonal experiment

试验水平	A 因子/℃	B 因子/h	C 因子/℃	D 因子/h
水平1	180	1.0	300	1.0
水平2	200	1.5	320	1.5
水平3	220	2.0	340	2.0

收稿日期:2008-12-15;修回日期:2009-06-08

作者简介:卢越焜,1981年出生,硕士,主要从事材料热处理工艺研究。E-mail:luyuekun@gmail.com

## 2 结果与讨论

### 2.1 正交试验

表2列出了上述因素在三个不同水平上的正交试验结果,相应的极差分析结果也列入其中。

表2 正交试验表 L9(3<sup>4</sup>)<sup>1)</sup>

Tab. 2 Results of orthogonal experiment

试验号	A 因子/℃	B 因子/h	C 因子/℃	D 因子/h	$\sigma_b/\text{MPa}$
1	180	1.0	300	1.0	1210
2	180	1.5	320	1.5	1300
3	180	2.0	340	2.0	1315
4	200	1.0	320	2.0	1325
5	200	1.5	340	1.0	1305
6	200	2.0	300	1.5	1245
7	220	1.0	340	1.5	1310
8	220	1.5	300	2.0	1235
9	220	2.0	320	1.0	1275
$I_j$	3825	3845	3690	3790	
$II_j$	3875	3840	3900	3855	
$III_j$	3820	3835	3930	3875	
$R_j$	55	10	240	85	

注:1)表中的 I、II、III 分别表示水平一、水平二、水平三,j 表示第 j 列;I<sub>j</sub> 表示正交表中第 j 列的一水平所对应的指标之和;II<sub>j</sub>, III<sub>j</sub>(j=1, 2, 3, 4), 表示的意义依次类推。极差 R<sub>j</sub> 表示该因素的不同水平下的指标之和中的最大值与最小值之差, 它反映了该列所排因子选取的水平变动对测试指标影响的大小。

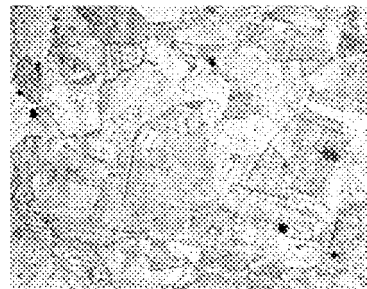
由表2 中极差 R<sub>j</sub> 这一行的数据可知, 第 3 列最大, 第 2 列最小。由此根据极差的大小顺序排出因子由主到次的顺序为:C→D→A→B。由于各因子所在列的 I<sub>j</sub>, II<sub>j</sub>, III<sub>j</sub> 的差异实际上只反映该因子由于水平变动引起的抗拉强度的波动, 而不受其他因子水平变动的影响。所以, 把各因子的最佳水平简单地组合起来就是最佳工艺。依据正交试验极差分析结果, 选取好的水平为 A<sub>2</sub>B<sub>1</sub>C<sub>3</sub>D<sub>3</sub>。即获得最高强度的最佳工艺条件为:一级时效温度为 200℃, 一级时效时间为 1 h, 二级时效温度为 340℃, 二级时效时间为 2 h。

根据正交试验结果可知, 二级时效温度对抗拉强度影响最大, 其过程是铍元素以  $\gamma_2$  相形式从  $\alpha$  固溶体中析出。由于  $\gamma_2$  相的沉淀析出强化, 使合金的力学性能得以提高。过高的二级时效温度会导致  $\gamma_2$  相的聚集和长大, 产生过时效现象, 从而使力学性能降低; 反之, 如果时效温度过低, 则从过饱和的  $\alpha$  固溶体中  $\gamma_2$  相的析出就不充分, 达不到强化效果<sup>[7]</sup>。二级时效温度的三个水平指标之和分别为 3 690(300℃)、3 900(320℃)、3 930(340℃), 由此可以看出, 300℃ 时由于时效不充分, 强化效果不明显, 从而抗拉强度较低, 而 320 和 340℃ 对应的指标之和数值比较接近且较高。因此, 为进一步提高抗拉强度, 进行了第二轮热处理工艺试验, 其参数分别为:一级时效温度 200℃, 一级时效

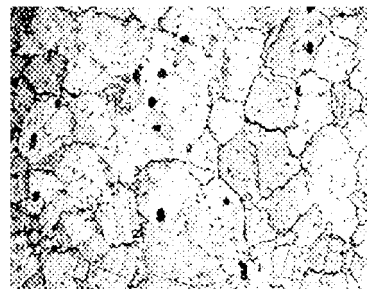
时间 1 h, 二级时效温度 330℃, 二级时效时间 2 h。此时抗拉强度为 1.336 GPa。

### 2.2 金相组织观察

图1 为经时效处理前后铍青铜的金相组织照片。腐蚀方法为 1% 铬酐水溶液电解浸蚀。可以看出经过时效后的铍青铜在晶界处有强化相析出, 且较为均匀, 产生沉淀硬化作用, 从而使抗拉强度得到提高。



(a) 未时效



(b) 时效后

图1 时效前后的铍青铜金相组织

Fig. 1 Microstructure of beryllium bronze 400×

### 3 结论

通过正交试验得知, 获得最高强度的最佳工艺条件为:一级时效温度为 200℃, 一级时效时间为 1 h, 二级时效温度为 330℃, 二级时效时间为 2 h, 抗拉强度为 1.336 GPa。即铍青铜带材通过最佳分级时效制度处理后抗拉强度得到提高。

### 参考文献

- 1 杨复建, 梅敬军. 铍青铜热处理工艺的改进. 机电元件, 2004; (3): 18~20
- 2 狄平. 铍青铜形变时效工艺的优化. 金属热处理, 2003; (2): 63~64
- 3 李晓艳. 铍青铜的热处理工艺应用研究. 电视技术, 2001; (6): 87~89
- 4 王荣滨. 铍青铜的热处理缺陷分析和双重时效强化. 热处理, 2001; (3): 20~24
- 5 沈德和, 李云壁. 正交试验设计及应用. 机械制造, 1984; (9): 46~48
- 6 沈德和, 李云壁. 正交试验设计及应用. 机械制造, 1984; (11): 45~48
- 7 郁龙贵. 热处理对铍青铜组织和性能的影响. 物理测试, 2000; (4): 5~8

(编辑 李洪泉)

宇航材料工艺 2009 年 第 4 期